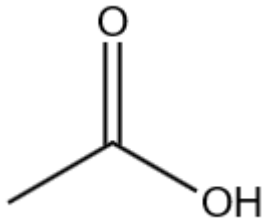


ANEXO 1

MATERIAL SUPLEMENTARIO

ESPECTROS DE MASAS DE LOS COMPUESTOS DETECTADOS EN LA WO DE LOS FANGOS PRIMARIOS PRODUCIDOS EN LA DEPURADORA DE AGUAS RESIDUAL URBANAS.



Ac. Acético

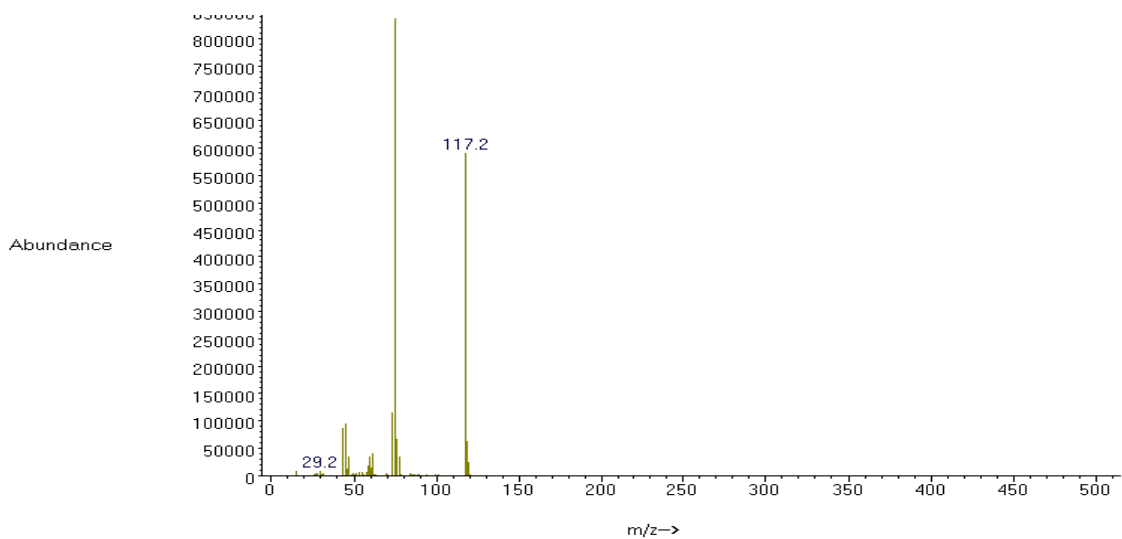
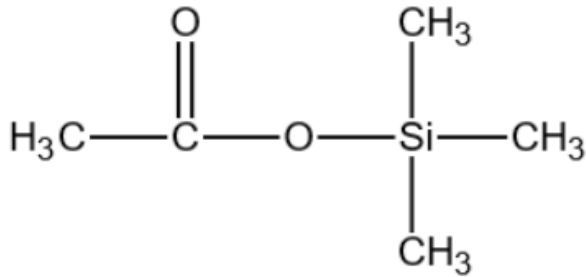
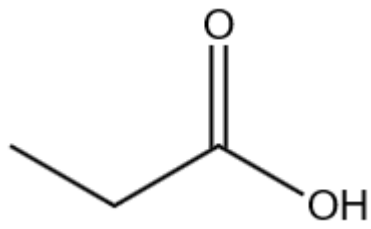


Figura S1. Espectro de masas del pico atribuido al derivado sililado del ácido acético.



Ác. Propiónico

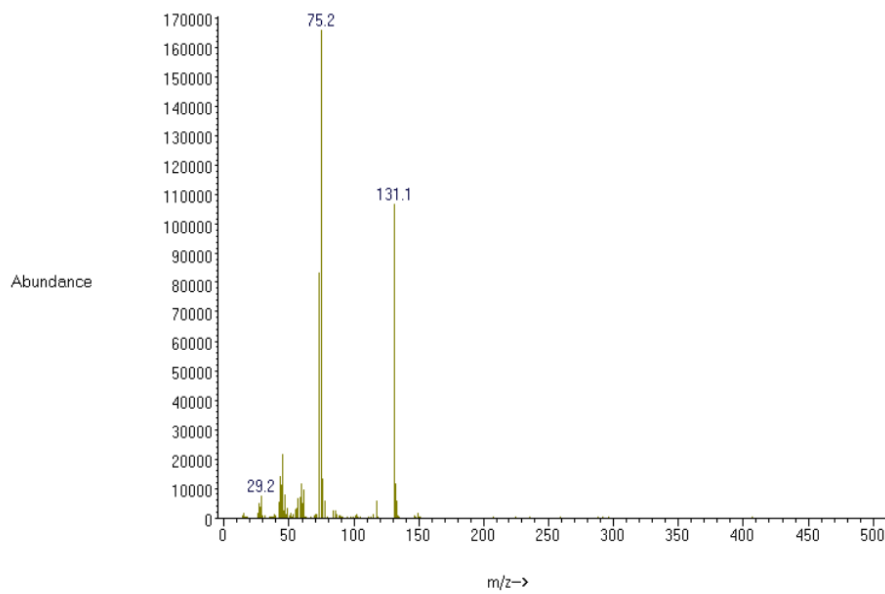
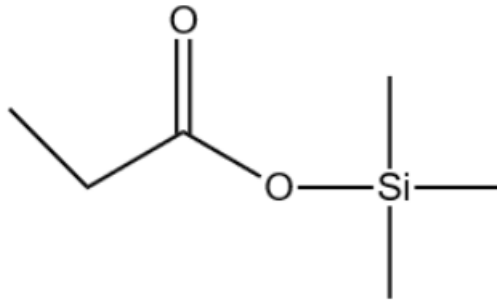
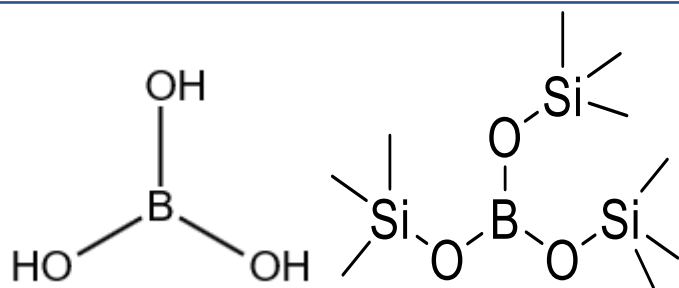


Figura S2. Espectro de masas del pico atribuido al derivado sililado del ácido propiónico.



Ácido Bórico

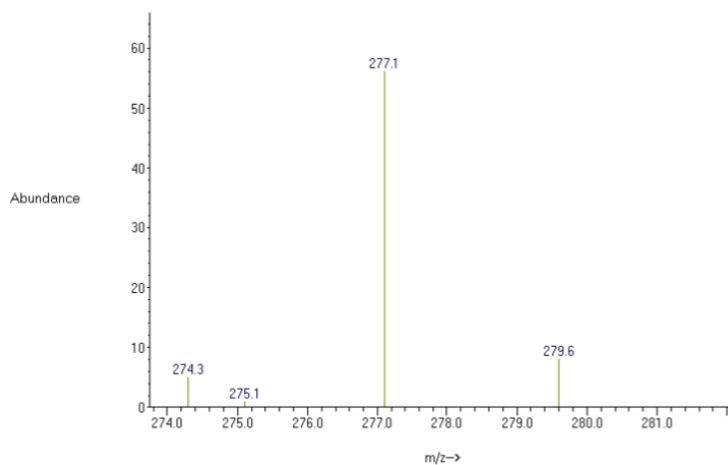
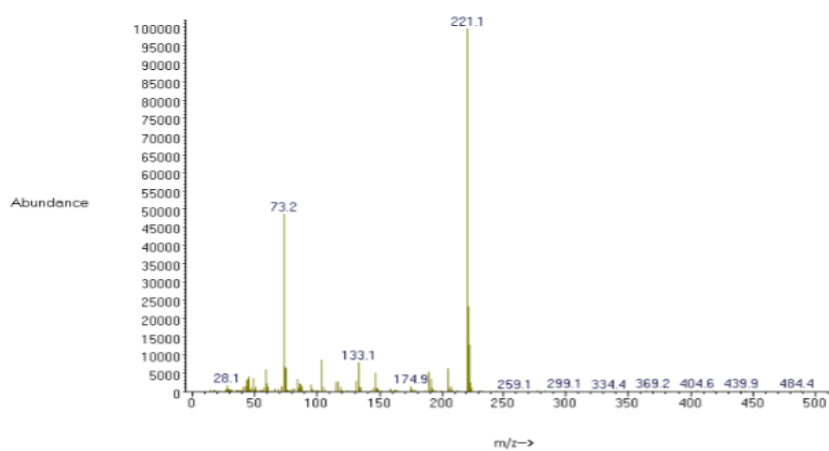
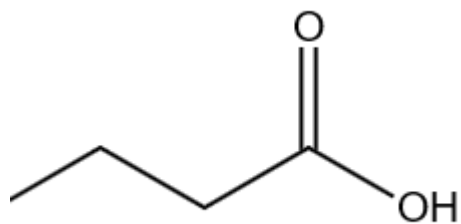


Figura S3. Comparación entre el espectro experimental atribuido al derivado persilado del ácido bórico y el espectro de referencia para ese derivado.



Ácido Butanoico

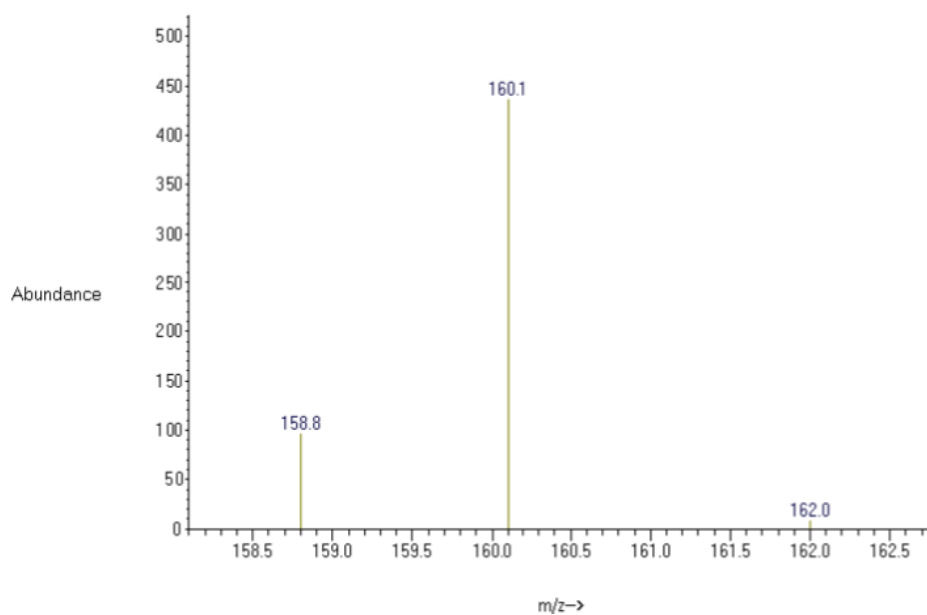
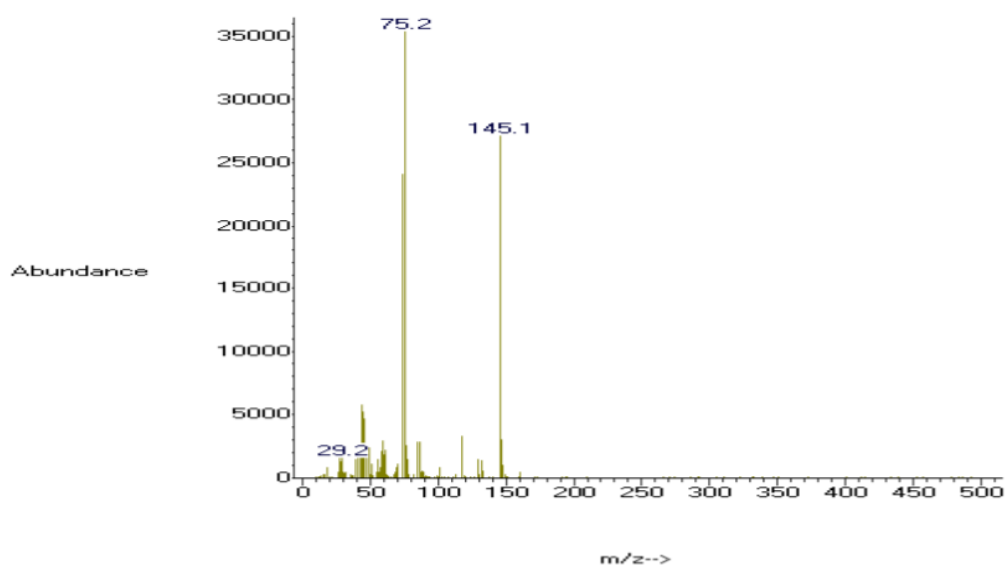
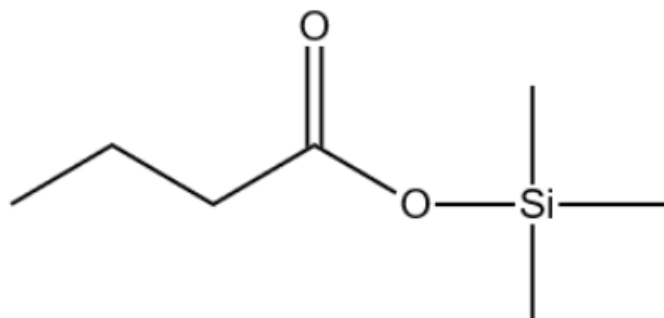
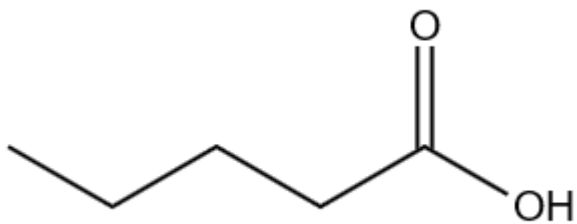


Figura S4. Comparación del espectro experimental del pico atribuido al derivado silylado del ácido butanoico y el de referencia en la base de datos.



Ácido Pentanoico

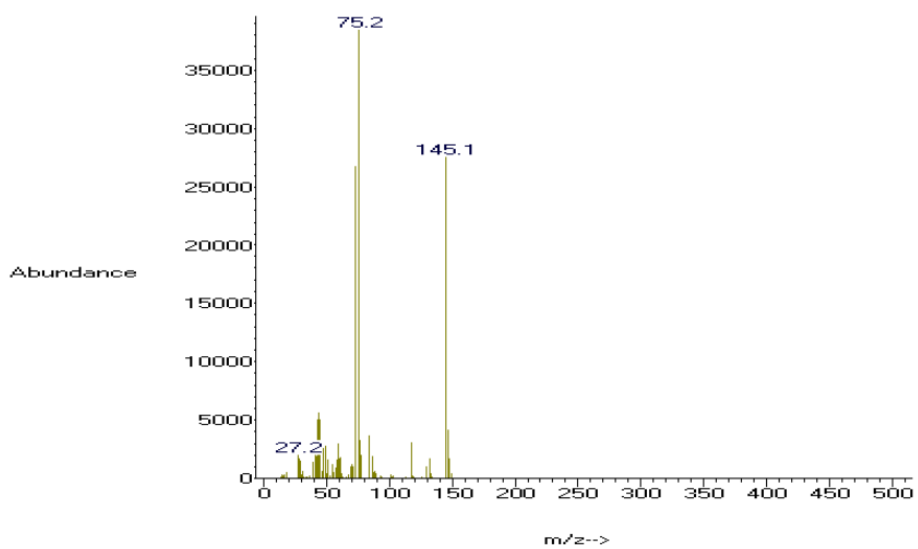
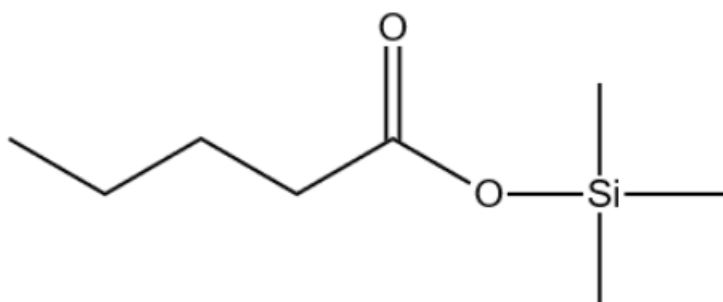
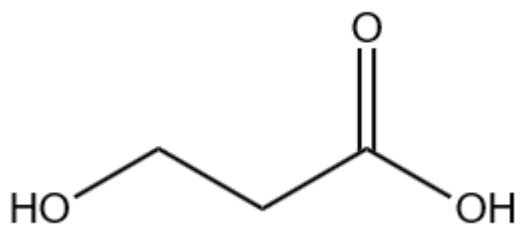


Figura S5. Espectro de masas del pico atribuido al derivado sililado del ácido pentanoico.



Ácido 3-hidroxiopropanoico

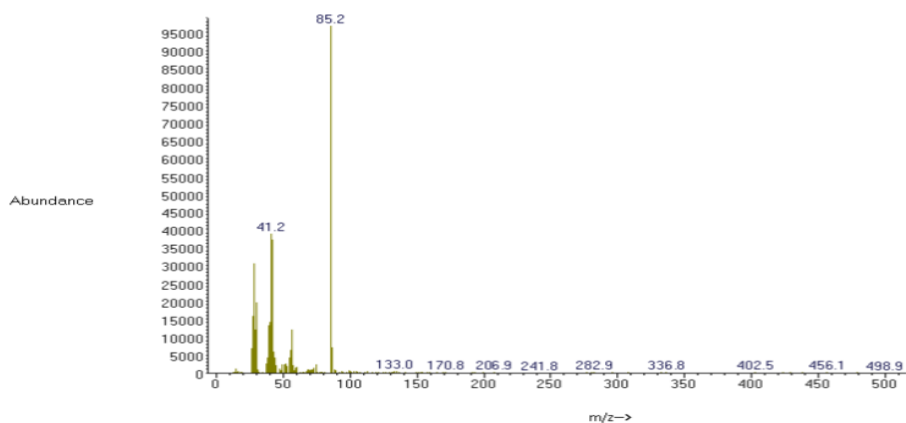
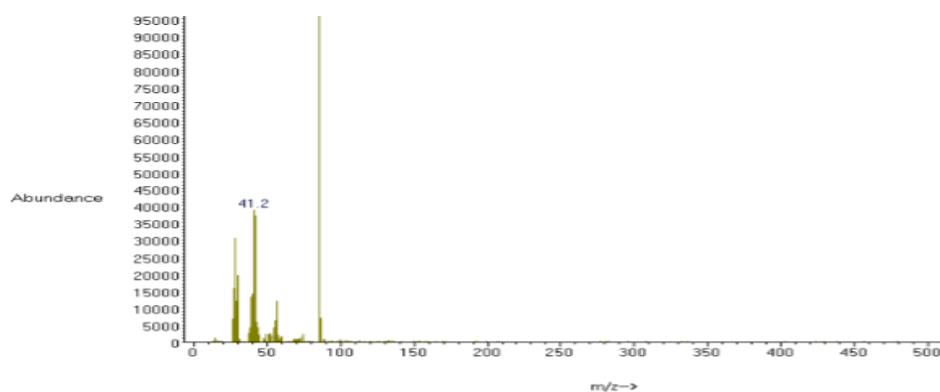
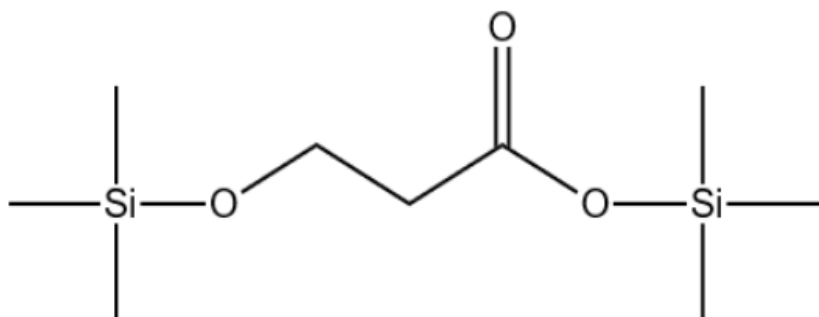
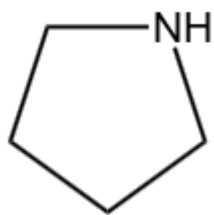


Figura S6. Espectro de masas del pico atribuido al derivado persilado del ácido 3-hidroxiopropanoico y el que se encuentra de referencia en la base de datos.



Pirrolidina

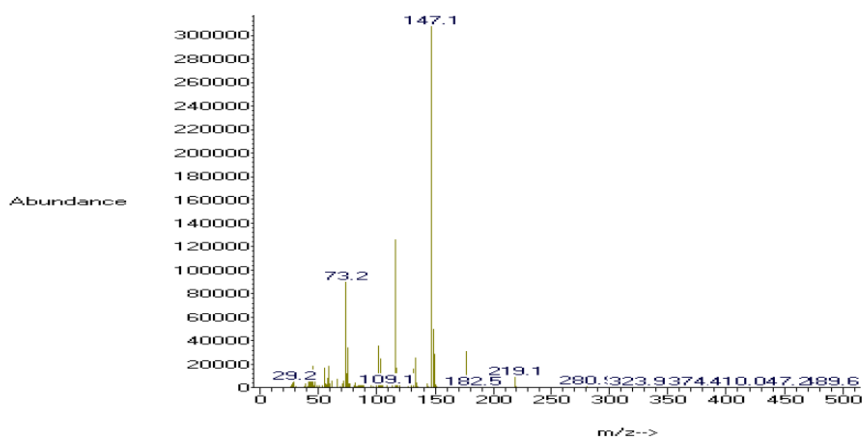
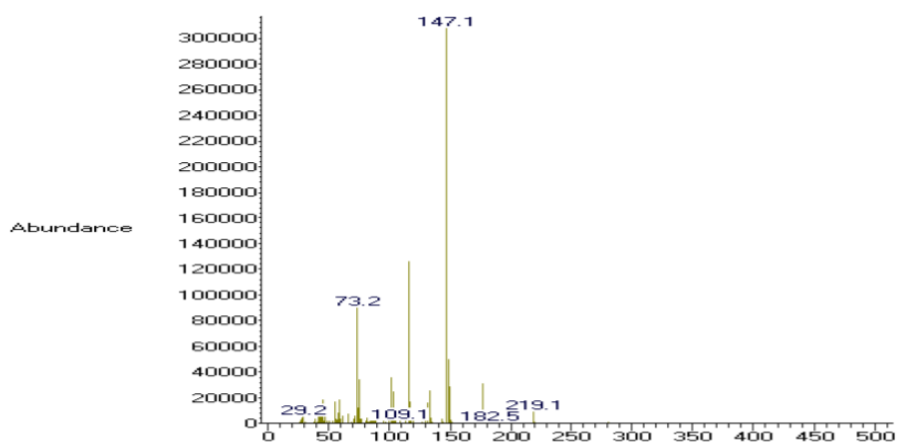
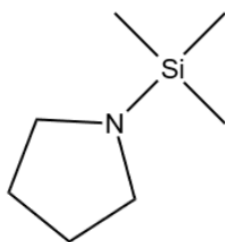
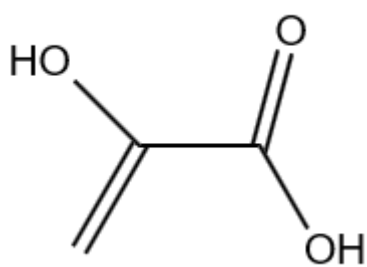


Figura S6. Espectro atribuido al derivado sililado de la pirrolidina y el que se encuentra en la base de datos como referencia.



Ácido pirúvico

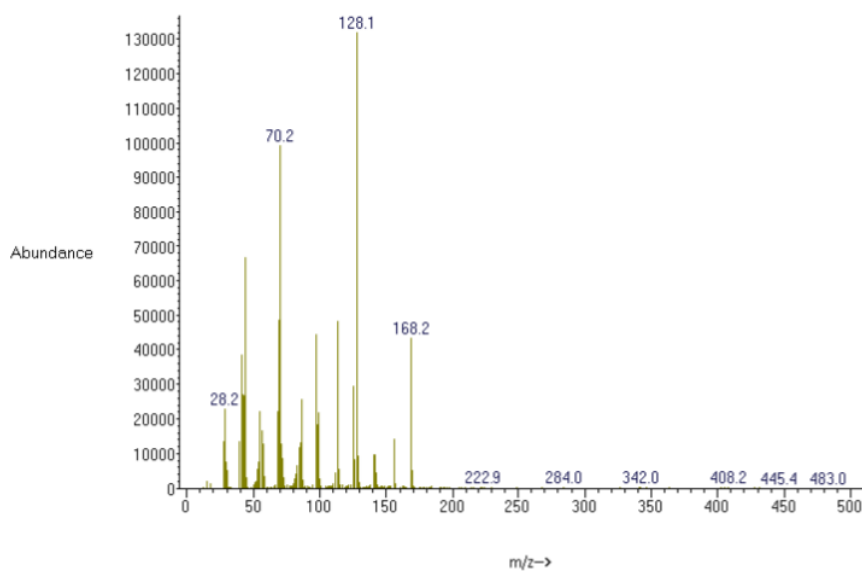
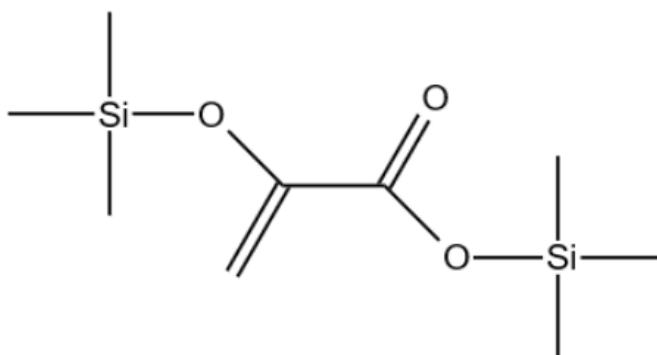


Figura S7. Espectro de masas atribuido al derivado disililado del ácido pirúvico.